

Mécanique des milieux continus solides et fluides

Séance 4

Emmanuel Plaut,
Sébastien Allain, Lucile Dézerald, Mathieu Jenny,
Matthieu Gisselbrecht & Jean-Sébastien Kroll

Cinématique avancée : déformations d'un milieu continu

- 1 Approche lagrangienne (plutôt pertinente pour les solides)
- 2 Approche eulerienne (plutôt pertinente pour les fluides)

<http://emmanuelplaut.perso.univ-lorraine.fr/mmc>

Principe de base : on fait une analyse différentielle locale

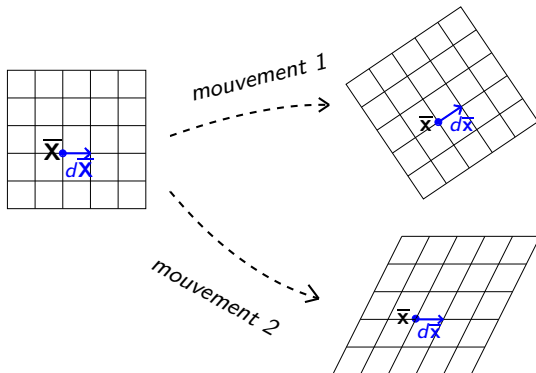
Donc en **lagrangien**, comme le mouvement est décrit par le placement

$$\begin{array}{ccc} \bar{\Phi}(.,t) : & D_0 & \longrightarrow & D_t \\ & \text{domaine initial} & & \text{domaine actuel} \\ & \bar{\mathbf{X}} & \longmapsto & \bar{\mathbf{x}} = \bar{\Phi}(\bar{\mathbf{X}},t) \\ & \text{position initiale} & & \text{position actuelle} \end{array}$$

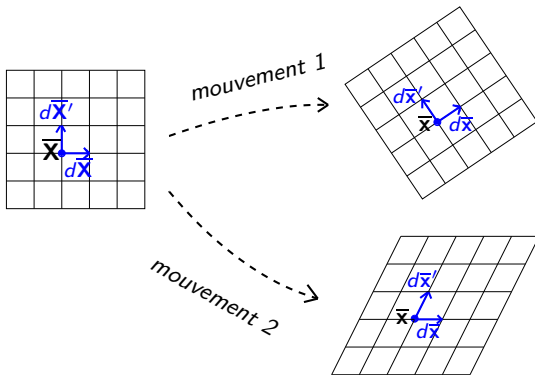
la **question** est : si $\bar{\mathbf{X}}$ varie de $d\bar{\mathbf{X}}$, comment varie $\bar{\mathbf{x}}$? $d\bar{\mathbf{x}} = ?$

$$d\bar{\mathbf{x}} = \bar{\mathbf{F}} \cdot d\bar{\mathbf{X}} \quad \text{avec} \quad \bar{\mathbf{F}} = \bar{\nabla}_{\mathbf{x}} \bar{\Phi} \quad \text{le } \mathbf{tenseur\ gradient\ de\ la\ transformation}$$

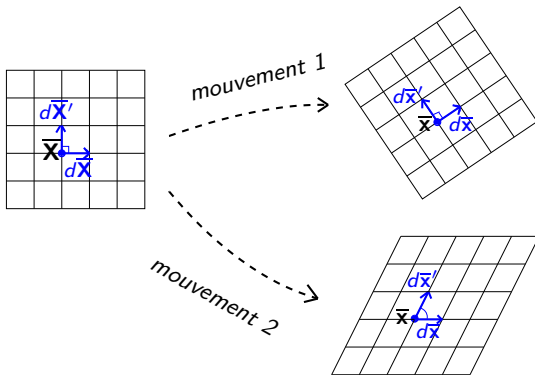
Alors : comment mesurer les déformations ?



Alors : comment mesurer les déformations ?



Idée : regarder le produit scalaire entre un $d\bar{\mathbf{X}}$ et un $d\bar{\mathbf{X}}'$



Idée : regarder le produit scalaire entre un $d\bar{X}$ et un $d\bar{X}'$

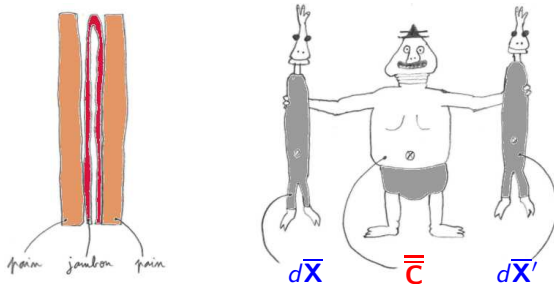
Le produit scalaire transporté se calcule à l'aide du **tenseur des dilatations de Cauchy**

$$\bar{\bar{C}} = \bar{\bar{F}}^T \cdot \bar{\bar{F}}$$

suivant la formule

$$d\bar{x} \cdot d\bar{x}' = \bar{\bar{C}}(d\bar{X}, d\bar{X}') = d\bar{X} \cdot \bar{\bar{C}} \cdot d\bar{X}' ,$$

qui met en œuvre la *règle du sandwich* :



NB : erreur (INHT) sur la fig. 1.1 p. 17 du tome 0 papier : faire $\bar{\bar{y}} \rightarrow \bar{y}$.

Idée : regarder le produit scalaire entre un $d\bar{\mathbf{X}}$ et un $d\bar{\mathbf{X}}'$

Le produit scalaire transporté se calcule à l'aide du **tenseur des dilatations de Cauchy**

$$\bar{\mathbf{C}} = \bar{\mathbf{F}}^T \cdot \bar{\mathbf{F}}$$

suivant la formule

$$d\bar{\mathbf{x}} \cdot d\bar{\mathbf{x}}' = \bar{\mathbf{C}}(d\bar{\mathbf{X}}, d\bar{\mathbf{X}}') = d\bar{\mathbf{X}} \cdot \bar{\mathbf{C}} \cdot d\bar{\mathbf{X}}',$$

Le mouvement n'est pas déformant autour de $\bar{\mathbf{X}}$ $\iff \bar{\mathbf{C}} = \bar{\mathbf{I}}$

$\iff \bar{\mathbf{F}}$ transformation orthogonale (directe, rotation !)

$$\iff \bar{\mathbf{e}} = \bar{\mathbf{0}}$$

si $\bar{\mathbf{e}} = \frac{1}{2}(\bar{\mathbf{C}} - \bar{\mathbf{I}})$ **tenseur des déformations de Green-Lagrange.**

Interprétation du tenseur des déformations de Green-Lagrange

$$\bar{\mathbf{e}} = \frac{1}{2}(\bar{\mathbf{C}} - \bar{\mathbf{1}})$$

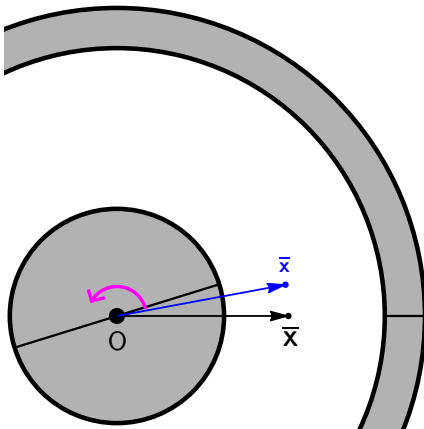
donc ce tenseur permet de calculer la variation du produit scalaire

$$\bar{\mathbf{e}}(d\bar{\mathbf{X}}, d\bar{\mathbf{X}}') = \frac{1}{2} (d\bar{\mathbf{x}} \cdot d\bar{\mathbf{x}}' - d\bar{\mathbf{X}} \cdot d\bar{\mathbf{X}}')$$

$\bar{\mathbf{C}}$ et $\bar{\mathbf{e}}$ **symétriques** sont **diagonalisables** sur une base orthonormée ;
 vecteurs et valeurs propres ont une signification physique ;
 les composantes des matrices représentatives ont une signification physique...
 Cf. les exercices 2.1 et 2.2 que nous n'aurons malheureusement pas le temps
 d'aborder en TD...

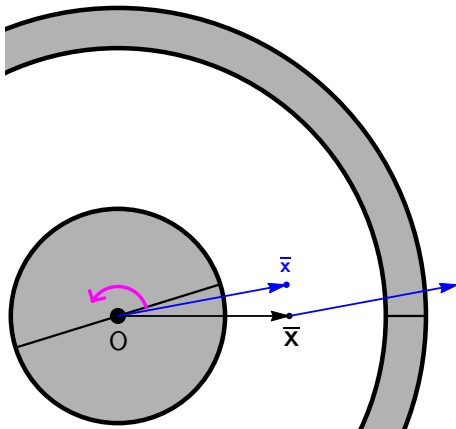
Retour sur la cinématique des solides avec l'expé. de Couette

Le **vecteur placement** $\bar{x} = \overline{\Phi}(\bar{X})$ n'est **pas très intrinsèque**,
au sens où il dépend du choix de l'origine O du repère :



Retour sur la cinématique des solides avec l'expé. de Couette

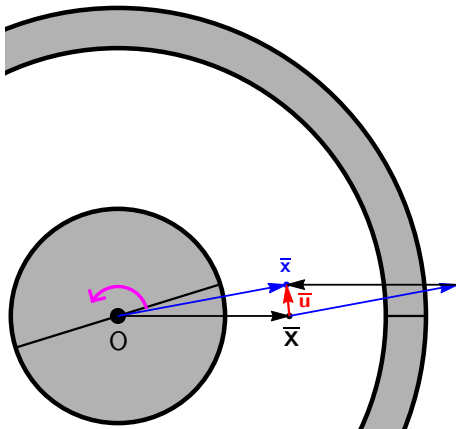
Le **vecteur placement** $\bar{x} = \overline{\Phi}(\bar{X})$ n'est **pas très intrinsèque**,
au sens où il dépend du choix de l'origine O du repère :



De plus, si on attache $\overline{\Phi}$ à \bar{X} on arrive « n'importe où »...

Retour sur la cinématique des solides avec l'expé. de Couette

Le **vecteur placement** $\bar{\mathbf{x}} = \overline{\Phi}(\bar{\mathbf{X}})$ n'est **pas très intrinsèque**,
au sens où il dépend du choix de l'origine O du repère :



Par contre le **vecteur déplacement** $\bar{\mathbf{u}} = \bar{\mathbf{x}} - \bar{\mathbf{X}}$ est « **très intrinsèque** »,
et naturellement « **attaché** » à $\bar{\mathbf{X}}$.

Reformulation en termes du **champ de déplacement**

$$\bar{\mathbf{u}} = \bar{\mathbf{x}} - \bar{\mathbf{X}} \implies \text{gradient de la transformation}$$

$$\bar{\mathbf{F}} = \bar{\nabla}_{\mathbf{x}} \bar{\mathbf{x}} = \bar{\mathbf{I}} + \bar{\nabla}_{\mathbf{x}} \bar{\mathbf{u}}$$

$$\implies \text{tenseur des dilatations de Cauchy}$$

$$\bar{\mathbf{C}} = \bar{\mathbf{F}}^T \cdot \bar{\mathbf{F}} = \bar{\mathbf{I}} + \bar{\nabla} \bar{\mathbf{u}} + \bar{\nabla} \bar{\mathbf{u}}^T + \bar{\nabla} \bar{\mathbf{u}}^T \cdot \bar{\nabla} \bar{\mathbf{u}}$$

$$\implies \text{tenseur des déformations de Green-Lagrange}$$

$$\bar{\mathbf{e}} = \frac{1}{2} (\bar{\mathbf{C}} - \bar{\mathbf{I}}) = \frac{1}{2} (\bar{\nabla} \bar{\mathbf{u}} + \bar{\nabla} \bar{\mathbf{u}}^T + \bar{\nabla} \bar{\mathbf{u}}^T \cdot \bar{\nabla} \bar{\mathbf{u}})$$

Cas de petites transformations

Si

$$\|\bar{\bar{\mathbf{F}}} - \bar{\mathbf{I}}\| \ll 1 \iff \|\bar{\bar{\nabla}}\bar{\mathbf{u}}\| \ll 1$$

alors

$$\bar{\bar{\mathbf{e}}} = \frac{1}{2} \left(\bar{\bar{\nabla}}\bar{\mathbf{u}} + \bar{\bar{\nabla}}\bar{\mathbf{u}}^T + \bar{\bar{\nabla}}\bar{\mathbf{u}}^T \cdot \bar{\bar{\nabla}}\bar{\mathbf{u}} \right)$$

$$\bar{\bar{\mathbf{e}}} \simeq \frac{1}{2} \left(\bar{\bar{\nabla}}\bar{\mathbf{u}} + \bar{\bar{\nabla}}\bar{\mathbf{u}}^T \right) =: \bar{\bar{\mathbf{e}}} \text{ tenseur des déformations linéarisé}$$

Interprétation physique

$$\bar{\bar{\mathbf{e}}}(d\bar{\mathbf{X}}, d\bar{\mathbf{X}}') \simeq \frac{1}{2} (d\bar{\mathbf{x}} \cdot d\bar{\mathbf{x}}' - d\bar{\mathbf{X}} \cdot d\bar{\mathbf{X}}') \iff d\bar{\mathbf{x}} \cdot d\bar{\mathbf{x}}' \simeq d\bar{\mathbf{X}} \cdot d\bar{\mathbf{X}}' + 2d\bar{\mathbf{X}} \cdot \bar{\bar{\mathbf{e}}} \cdot d\bar{\mathbf{X}}'$$

$$\bullet \quad d\bar{\mathbf{X}} = dX \bar{\mathbf{e}}_1 \implies \frac{dx}{dX} = \sqrt{1 + 2\epsilon_{11}} \simeq 1 + \epsilon_{11}$$

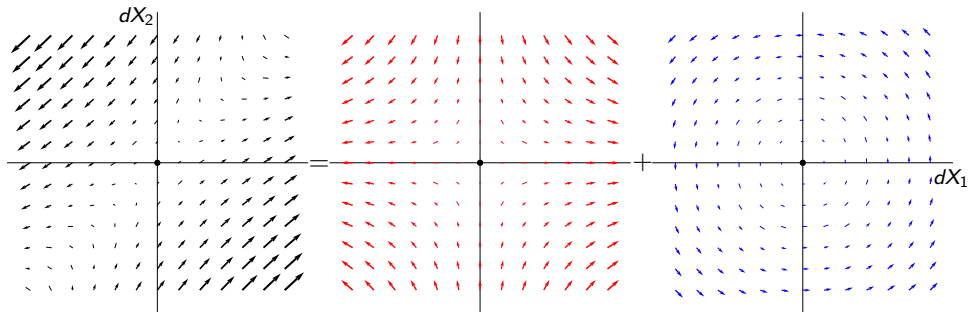
ϵ_{11} allongement réduit ou relatif

$$\bullet \quad d\bar{\mathbf{X}} = dX \bar{\mathbf{e}}_1 \text{ et } d\bar{\mathbf{X}}' = dX \bar{\mathbf{e}}_2$$

$$\implies \theta = \text{angle de glissement} = \frac{\pi}{2} - \widehat{(d\bar{\mathbf{x}}, d\bar{\mathbf{x}}')} \simeq 2\epsilon_{12}$$

Décomposition locale d'un champ de déplacement linéarisé

$$d\bar{x} = d\bar{X} + d\bar{u} \quad \text{avec} \quad d\bar{u} = \overline{\nabla} \bar{u} \cdot d\bar{X} = \underbrace{\bar{\epsilon} \cdot d\bar{X}}_{\text{déformation}} + \underbrace{\bar{\Omega} \wedge d\bar{X}}_{\text{rotation}}$$

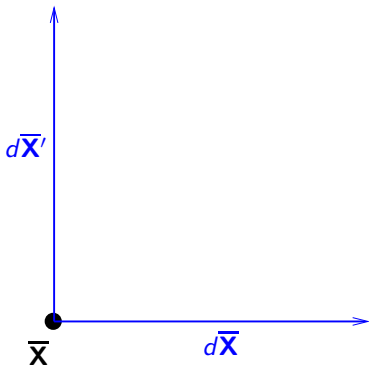


$$\bar{\Omega} = \frac{1}{2} \overline{\text{rot}}(\bar{u})$$

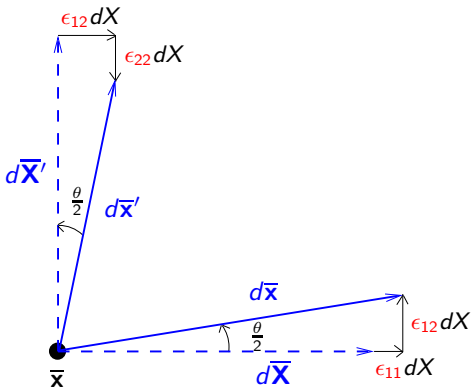
Cas d'un mouvement plan déformant sans rotation

$$d\bar{x} = d\bar{X} + d\bar{u} \quad \text{avec} \quad d\bar{u} = \bar{\nabla} \bar{u} \cdot d\bar{X} = \bar{\epsilon} \cdot d\bar{X}$$

configuration de référence :

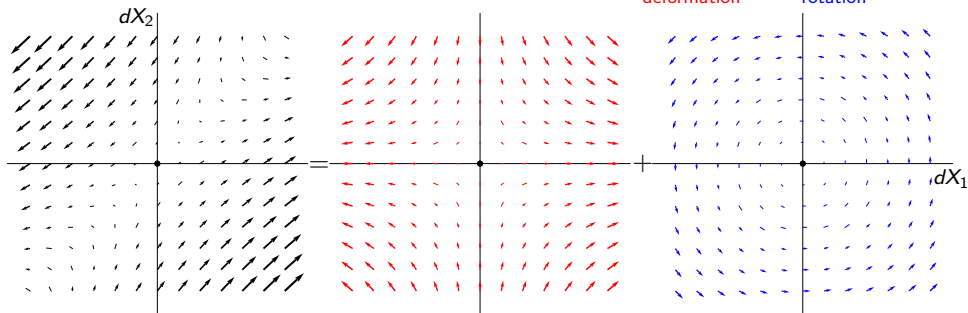


actuelle :



Décomposition locale d'un champ de déplacement linéarisé

$$d\bar{x} = d\bar{X} + d\bar{u} \quad \text{avec} \quad d\bar{u} = \overline{\nabla} \bar{u} \cdot d\bar{X} = \underbrace{\bar{\epsilon} \cdot d\bar{X}}_{\text{déformation}} + \underbrace{\bar{\Omega} \wedge d\bar{X}}_{\text{rotation}}$$



En général la **dilatation volumique**

$$J = \frac{d^3x}{d^3X} = \det \bar{\mathbf{F}} = \det \left(\bar{\mathbf{1}} + \overline{\nabla} \bar{u} \right)$$

ce qui donne **en petite transformation** (cf. l'exercice de CT 1.11)

$$J = 1 + \text{div} \bar{u} \quad \rightarrow \quad \text{signification de } \text{div} \bar{u} = \text{tr} \overline{\nabla} \bar{u} = \text{tr} \bar{\epsilon}$$

Approche lagrangienne des déformations : bilan (1)

Tensor gradient de la transformation :

$$\bar{\mathbf{F}} = \bar{\nabla}_{\mathbf{X}} \bar{\Phi} : d\bar{\mathbf{X}} \mapsto \bar{\mathbf{F}} \cdot d\bar{\mathbf{X}} = d\bar{\mathbf{x}}$$

Tensor des dilatations de Cauchy :

$$\bar{\mathbf{C}} = \bar{\mathbf{F}}^T \cdot \bar{\mathbf{F}} : (d\bar{\mathbf{X}}, d\bar{\mathbf{X}}') \mapsto \bar{\mathbf{C}}(d\bar{\mathbf{X}}, d\bar{\mathbf{X}}') = d\bar{\mathbf{x}} \cdot d\bar{\mathbf{x}}'$$

Tensor des déformations de Green-Lagrange :

$$\bar{\mathbf{e}} = \frac{1}{2} (\bar{\mathbf{C}} - \bar{\mathbf{I}}) : (d\bar{\mathbf{X}}, d\bar{\mathbf{X}}') \mapsto \bar{\mathbf{e}}(d\bar{\mathbf{X}}, d\bar{\mathbf{X}}') = \frac{1}{2} (d\bar{\mathbf{x}} \cdot d\bar{\mathbf{x}}' - d\bar{\mathbf{X}} \cdot d\bar{\mathbf{X}}')$$

Petite transformation :

$$\bar{\mathbf{F}} - \bar{\mathbf{I}} = \bar{\nabla} \bar{\mathbf{u}} \ll 1 \quad \text{avec} \quad \bar{\mathbf{u}} = \bar{\mathbf{x}} - \bar{\mathbf{X}} \text{ le champ de déplacement}$$

Tensor des déformations linéarisé :

$$\bar{\mathbf{e}} = \left(\bar{\mathbf{e}} \text{ à l'ordre } \bar{\nabla} \bar{\mathbf{u}} \right) = \frac{1}{2} \left(\bar{\nabla} \bar{\mathbf{u}} + \bar{\nabla} \bar{\mathbf{u}}^T \right)$$

Approche lagrangienne des déformations : bilan (2)

Décomposition locale du champ de déplacement linéarisé :

$$d\bar{\mathbf{u}} = \overline{\nabla} \bar{\mathbf{u}} \cdot d\bar{\mathbf{X}} = \underbrace{\bar{\boldsymbol{\Omega}} \wedge d\bar{\mathbf{X}}}_{\text{rotation}} + \underbrace{\bar{\boldsymbol{\epsilon}} \cdot d\bar{\mathbf{X}}}_{\text{déformation}}$$

Rotationnel de $\bar{\mathbf{u}}$:

$$\bar{\boldsymbol{\Omega}} = \frac{1}{2} \overline{\text{rot}}(\bar{\mathbf{u}})$$

Divergence de $\bar{\mathbf{u}}$:

$$\text{div} \bar{\mathbf{u}} = \text{tr} \overline{\nabla} \bar{\mathbf{u}} = \text{tr} \bar{\boldsymbol{\epsilon}}$$

Dilatation volumique :

$$J = \frac{d^3x}{d^3X} = \det \bar{\mathbf{F}}$$

ce qui donne en petite transformation

$$J = 1 + \text{div} \bar{\mathbf{u}}$$

Approche eulerienne : bilan (cf. séance de mise à niveau & poly)

Tenseur gradient de vitesse :

$$\bar{\mathbf{K}} = \bar{\nabla}_{\mathbf{x}} \bar{\mathbf{v}} : d\bar{\mathbf{x}} \mapsto \bar{\mathbf{K}} \cdot d\bar{\mathbf{x}} = \frac{d(d\bar{\mathbf{x}})}{dt}$$

Divergence de la vitesse :

$$\text{div} \bar{\mathbf{v}} = \frac{1}{d^3x} \frac{d(d^3x)}{dt} = \text{taux de dilatation volumique}$$

Tenseur des taux de déformation :

$$\bar{\mathbf{D}} = \frac{1}{2} (\bar{\mathbf{K}} + \bar{\mathbf{K}}^T) : (d\bar{\mathbf{x}}, d\bar{\mathbf{x}}') \mapsto \bar{\mathbf{D}}(d\bar{\mathbf{x}}, d\bar{\mathbf{x}}') = \frac{1}{2} \frac{d(d\bar{\mathbf{x}} \cdot d\bar{\mathbf{x}}')}{dt}$$

Décomposition locale du champ de vitesse linéarisé :

$$d\bar{\mathbf{v}} = \bar{\nabla}_{\mathbf{x}} \bar{\mathbf{v}} \cdot d\bar{\mathbf{x}} = \underbrace{\bar{\mathbf{D}} \cdot d\bar{\mathbf{x}}}_{\text{déformation}} + \underbrace{\bar{\omega} \wedge d\bar{\mathbf{x}}}_{\text{rotation}} \quad \text{avec} \quad \bar{\omega} = \frac{1}{2} \overline{\text{rot}}(\bar{\mathbf{v}})$$

En conclusion...

Il importe d'être capable de faire le lien entre les deux approches

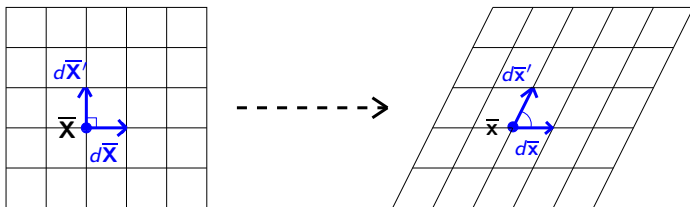
→ cf. le document de cours

→ cf. le problème 2.1 traité en TD,

qui consiste à étudier une « **transformation homogène** »

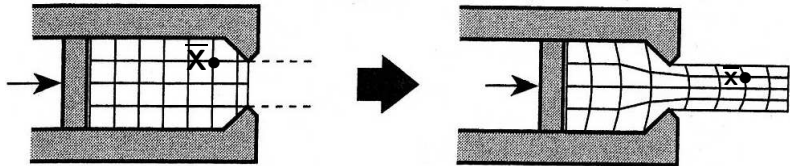
$$\left(\begin{array}{l} \bar{\mathbf{F}} \text{ homogène i.e. ne dépend pas de } \bar{\mathbf{X}} \\ \iff \bar{\mathbf{x}} = \bar{\mathbf{x}}_0 + \bar{\mathbf{F}} \cdot \bar{\mathbf{X}} \text{ avec } \bar{\mathbf{F}} \text{ indép. de } \bar{\mathbf{X}} \end{array} \right)$$

de « **cisaillement pur** » (= « système de Couette plan ») :



Attention :
toutes les transformations ne sont pas homogènes !

C'est le cas par exemple de l'**extrusion** :



[Zienkiewicz, O. C. & Taylor, R. L. 2000 *The finite elements method*]

Rappels : page web du module (test à venir !..) :

<http://emmanuelplaut.perso.univ-lorraine.fr/mmc>

et il existe aussi une page ARCHE !..

équipe pédagogique pour le TD :

Chargé(e) de TD	Labo.	Spécialité	Groupe(s)	Salle
L. Dézerald	IJL	Méca. et Φ des solides	XM1 & YM1	B301
M. Jenny	Lemta	Méca. et Φ des fluides	XM2 & YM2	B304
S. Allain	IJL	Méca. et Φ des solides	XM3 & YM3	B305
M. Gisselbrecht	IJL	Méca. des fluides multiphasiques	XM4 & YM4	B306
J.-S. Kroll	IJL	Méca. des fluides multiphasiques	XM5	B307-308

Questions ?